

## 조종력지연이 있는 불확정성대체계의 분산로바스트조종기설계

리진성

선행연구들[2, 3]에서는 불확정성과 시간지연에 대해서만 고찰하고 조종력지연에 대해서는 제기하지 못하였다.

논문에서는 조종력지연과 불확정성을 가진 대체계[1]가 로바스트안정이기 위한 충분조건을 주고 그로부터 분산로바스트조종기를 설계하였다.

### 1. 분산로바스트조종기설계

$N$  개의 부분체계로 이루어진 조종력지연이 있는 불확정성대체계의 상태방정식은 다음과 같다.

$$\begin{aligned} \dot{x}_i(t) = & [A_i + \Delta A_i(r_i(t))]x_i(t) + [B_i + \Delta B_i(s_i(t))]u_i(t) + \\ & + [B_{di} + \Delta B_{di}(s_{di}(t))]u_i(t - d_i) + [H_i + \Delta H_i(h_i(t))] \sum_{j=1, i \neq j}^N H_{ij}x_j(t) \end{aligned} \quad (1)$$

여기서  $x_i(t) \in R^{n_i}$ ,  $u_i(t) \in R^{m_i}$  는 상태, 조종력벡토르,  $A_i$ ,  $B_i$ ,  $B_{di}$ ,  $H_i$  는 상수행렬,  $H_{ij}$  는  $i$  째 부분체계와  $j$  째 부분체계사이의 관련행렬,

$$r_i(t) \in \phi_i \subseteq R^{p_i}, s_i(t) \in \varphi_i \subseteq R^{q_i}, s_{di}(t) \in \varphi_{di} \subseteq R^{q_{di}}, h_i(t) \in \varphi_{hi} \subseteq R^{q_{hi}}$$

는 콤팩트모임  $\phi_i$ ,  $\varphi_i$ ,  $\varphi_{di}$ ,  $\varphi_{hi}$  에 속하는 임의의 벡토르이다.

이때 불확정성은 다음의 조건을 만족시킨다고 가정하자.

$$\begin{aligned} \Delta A_i(t) = \bar{A}_i F_i(t), \quad \Delta B_i(t) = \bar{B}_i F_{bi}(t), \quad \Delta B_{di}(t) = \bar{B}_{di} F_{di}(t), \quad \Delta H_i(t) = \bar{H}_i F_{hi}(t), \\ \|F_i(t)\| \leq 1, \quad \|F_{di}(t)\| \leq 1, \quad \|F_{bi}(t)\| \leq 1, \quad \|F_{hi}(t)\| \leq 1 \end{aligned} \quad (2)$$

여기서  $\bar{A}_i$ ,  $\bar{B}_i$ ,  $\bar{B}_{di}$ ,  $\bar{H}_i$  는 대칭행렬,  $F_i(t)$ ,  $F_{di}(t)$ ,  $F_{bi}(t)$ ,  $F_{hi}(t)$  는 미지행렬이다.

그러면 다음의 정리가 성립한다.

정리 조종지연  $0 \leq d_i \leq \bar{d}_i$  를 가진 불확정성대체계(식 (1))에 대하여 대칭행렬  $X_i > 0$  과 행렬  $Y_i$ , 정의상수  $\alpha_i$ ,  $\beta_i$ ,  $\beta_{di}$ ,  $\lambda_i$ ,  $\eta_i$ ,  $\mu_i$ ,  $\nu_i$ ,  $k_i$  ( $i=1, \dots, N$ ) 가 있어서 다음의 LMI

$$\left\{ \begin{aligned} & \begin{bmatrix} s_i & H_{1i} & H_{2i} & \bar{D}_i k_i B_{di} & \bar{D}_i k_i \bar{B}_{di} \\ H_{1i}^T & -G_{1i} & 0 & 0 & 0 \\ H_{2i}^T & 0 & -G_{2i} & 0 & 0 \\ \bar{D}_i k_i B_{di}^T & 0 & 0 & -\bar{D}_i (k_i - \lambda_i) & 0 \\ \bar{D}_i k_i \bar{B}_{di} & 0 & 0 & 0 & -\bar{D}_i \lambda_i \end{bmatrix} < 0 \\ & I_i - \eta_i \bar{A}_i^2 > 0, \quad I_i - \nu_i \bar{B}_i^2 > 0, \quad I_i - \mu_i \bar{B}_{di}^2 > 0, \quad k_i - \lambda_i > 0 \end{aligned} \right\} \quad (3)$$

을 만족시킨다면 이 체계는 분산로바스트안정하며 풀이  $X_i, Y_i$ 는 다음의 부등식을 만족시킨다.

$$k_i I_i - Y_i X_i^{-1} X_i^{-1} Y_i^T \geq 0, \quad i=1, \dots, N \quad (4)$$

여기서

$$S_i = X_i A_i^T + A_i X_i + \alpha_i \bar{A}_i^2 + \beta_i \bar{B}_i^2 + \beta_{di} \bar{B}_{di}^2 + Y_i^T (B_i + B_{di})^T + (B_i + B_{di}) Y_i + \sum_{j=1, i \neq j}^N \bar{h}_i^2 h_{ij}^2 I_i,$$

$$H_{li} = [X_i, (N-1)X_i, \bar{d}_i X_i A_i^T, \bar{d}_i X_i],$$

$$G_{li} = \text{diag}(\alpha_i I_i, (N-1)I_i, \bar{d}_i (I_i - \eta_i \bar{A}_i^2), \bar{d}_i \eta_i I_i),$$

$$H_{2i} = [Y_i^T, Y_i^T, \bar{d}_i Y_i^T, \bar{d}_i Y_i^T, \bar{d}_i Y_i^T B_i^T, \bar{d}_i Y_i^T B_{di}^T],$$

$$G_{2i} = \text{diag}(\beta_i I, \beta_{di} I, \bar{d}_i \nu_i I, \bar{d}_i \mu_i I, \bar{d}_i (I_i - \nu_i \bar{B}_i^2), \bar{d}_i (I_i - \mu_i \bar{B}_{di}^2)),$$

$$\bar{D}_i = \bar{d}_i \left( 3 + \sum_{j=1, j \neq i}^N \bar{h}_i^2 h_{ij}^2 \right).$$

결국 분산로바스트조종  $u_i(t) = -Y_i X_i^{-1} x_i(t) \quad i=1, \dots, N$  으로 된다.

증명  $\int_a^b \dot{f}(t) dt = f(b) - f(a)$  를 리용하면 닫힌체계는 다음과 같이 변환된다.

$$\begin{aligned} \dot{x}_i(t) = & (A_i + \Delta A_i(r_i(t)))x_i(t) + (B_i + \Delta B_i(s_i(t)) + B_{di} + \Delta B_{di}(s_{di}(t)))u_i(t) - \\ & - \int_{-d_i}^0 (B_{di} + \Delta B_{di}(s_{di}(t)))K_i \{ (A_i + \Delta A_i(r_i(t+\theta)))x_i(t+\theta) + (B_i + \\ & + \Delta B_i(s_i(t+\theta)))K_i x_i(t+\theta) + (B_{di} + \Delta B_{di}(s_{di}(t+\theta)))K_i x_i(t-d_i+\theta) + \\ & + (H_i + \Delta H_i(h_i(t+\theta))) \sum_{j=1, i \neq j}^N H_{ij} x_j(t+\theta) \} d\theta + (H_i + \Delta H_i(h_i(t))) \sum_{j=1, i \neq j}^N H_{ij} x_j(t) \end{aligned} \quad (5)$$

이때 라뵈노브함수는 다음과 같다.

$$V(x, t) = V_1(x, t) + V_2(x, t) \quad (6)$$

여기서  $V_1(x, t) = \sum_{i=1}^N x_i^T(t) P_i x_i(t)$  이고  $V_2(x, t)$  는  $V(x, t)$  의 도함수에서 2차지연항이 나타나지 않도록 설정한다. 즉

$$\begin{aligned} V_2(x, t) = & \sum_{i=1}^N \int_{-d_i}^0 \int_{t+\theta}^t x_i^T(\mathcal{G}) (A_i + \Delta A_i(r_i(\mathcal{G})))^T (A_i + \Delta A_i(r_i(\mathcal{G}))) x_i(\mathcal{G}) d\mathcal{G} d\theta + \\ & + \sum_{i=1}^N \int_{-d_i}^0 \int_{t+\theta}^t x_i^T(\mathcal{G}) K_i^T (B_i + \Delta B_i(s_i(\mathcal{G})))^T (B_i + \Delta B_i(s_i(\mathcal{G}))) K_i x_i(\mathcal{G}) d\mathcal{G} d\theta + \\ & + \sum_{i=1}^N \int_{-d_i}^0 \int_{t-d_i+\theta}^t x_i^T(\mathcal{G}) K_i^T (B_{di} + \Delta B_{di}(s_{di}(\mathcal{G}+d_i)))^T (B_{di} + \Delta B_{di}(s_{di}(\mathcal{G}+ \\ & + d_i))) K_i x_i(\mathcal{G}) d\mathcal{G} d\theta + \sum_{i=1}^N \sum_{j=1, j \neq i}^N \int_{-d_i}^0 \int_{t+\theta}^t x_j^T(\mathcal{G}) x_j(\mathcal{G}) d\mathcal{G} d\theta. \end{aligned}$$

한편 식 (6)에서  $V_1(x, t)$  의 도함수는 다음과 같다.

$$\begin{aligned}
 \dot{V}_1(x, t) &= \sum_{i=1}^N (\dot{x}_i^T P_i x_i + x_i^T P_i \dot{x}_i) = \\
 &= \sum_{i=1}^N x_i^T [A_i^T P_i + P_i A_i + \Delta A_i^T P_i + P_i \Delta A_i + K_i^T (B_i + B_{di})^T P_i + P_i (B_i + B_{di}) K_i + \\
 &\quad + K_i^T (\Delta B_i + \Delta B_{di})^T P_i + P_i (\Delta B_i + \Delta B_{di}) K_i] x_i + \sum_{i=1}^N \sum_{j=1, i \neq j}^N [2x_i^T P_i (H_i + \Delta H_i) H_{ij} x_j] - \\
 &\quad - \sum_{i=1-d_i}^N \int_0^0 2x_i^T P_i (B_{di} + \Delta B_{di}) K_i (A_i + \Delta A_i(s_i(t+\theta))) K_i x_i(t+\theta) d\theta - \\
 &\quad - \sum_{i=1-d_i}^N \int_0^0 2x_i^T P_i (B_{di} + \Delta B_{di}) K_i (B_i + \Delta B_i(s_i(t+\theta))) K_i x_i(t+\theta) d\theta - \\
 &\quad - \sum_{i=1-d_i}^N \int_0^0 2x_i^T P_i (B_{di} + \Delta B_{di}) K_i (B_{di} + \Delta B_{di}(s_{di}(t+\theta))) K_i x_i(t-d_i+\theta) d\theta \\
 &\quad - \sum_{i=1-d_i}^N \int_0^0 \sum_{j=1, i \neq j}^N 2x_i^T P_i (B_{di} + \Delta B_{di}) K_i (H_i + \Delta H_i(h_i(t+\theta))) H_{ij} x_j(t+\theta) d\theta.
 \end{aligned}$$

따라서

$$\begin{aligned}
 \dot{V}(x, t) &\leq \sum_{i=1}^N \left\{ x_i^T \left[ A_i^T P_i + P_i A_i + \alpha_i P_i \bar{A}_i^2 P_i + \frac{1}{\alpha_i} I_i + \beta_i P_i \bar{B}_i^2 P_i + \frac{1}{\beta_i} K_i^T K_i + \right. \right. \\
 &\quad + \beta_{di} P_i \bar{B}_{di}^2 P_i + \frac{1}{\beta_{di}} K_i^T K_i + K_i^T (B_i + B_{di})^T P_i + P_i (B_i + B_{di}) K_i + \\
 &\quad + \sum_{j=1, i \neq j}^N \bar{h}_{ij}^2 h_{ij}^2 P_i P_i + (N-1)(1+\bar{d}_i) I_i + \bar{d}_i k_i \left( 3 + \sum_{j=1, j \neq i}^N \bar{h}_{ij}^2 h_{ij}^2 \right) P_i \left( \frac{1}{1-\gamma_i} B_{di} B_{di}^T + \right. \\
 &\quad + \left. \frac{1}{\gamma_i} \bar{B}_{di}^2 \right) P_i + \bar{d}_i A_i^T (I_i - \eta_i \bar{A}_i^2)^{-1} A_i + \frac{\bar{d}_i}{\eta_i} I_i + \bar{d}_i K_i^T B_i^T (I_i - \nu_i \bar{B}_i^2)^{-1} B_i K_i + \\
 &\quad \left. + \frac{\bar{d}_i}{\nu_i} K_i^T K_i + \bar{d}_i K_i^T B_{di}^T (I_i - \mu_i \bar{B}_{di}^2)^{-1} B_{di} K_i + \frac{\bar{d}_i}{\mu_i} K_i^T K_i \right] x_i \Big\}.
 \end{aligned}$$

그러므로 닫힌체계 (5)는 다음의 부등식을 만족시킬 때 점근안정하다.

$$\begin{aligned}
 &A_i^T P_i + P_i A_i + \alpha_i P_i \bar{A}_i^2 P_i + \frac{1}{\alpha_i} I_i + \beta_i P_i \bar{B}_i^2 P_i + \frac{1}{\beta_i} K_i^T K_i + \beta_{di} P_i \bar{B}_{di}^2 P_i + \frac{1}{\beta_{di}} K_i^T K_i + \\
 &+ K_i^T (B_i + B_{di})^T P_i + P_i (B_i + B_{di}) K_i + \sum_{j=1, i \neq j}^N \bar{h}_{ij}^2 h_{ij}^2 P_i P_i + (N-1)(1+\bar{d}_i) I_i + \\
 &+ \bar{d}_i k_i \left( 3 + \sum_{j=1, j \neq i}^N \bar{h}_{ij}^2 h_{ij}^2 \right) P_i \left( \frac{1}{1-\gamma_i} B_{di} B_{di}^T + \frac{1}{\gamma_i} \bar{B}_{di}^2 \right) P_i + \bar{d}_i A_i^T (I_i - \eta_i \bar{A}_i^2)^{-1} A_i + \frac{\bar{d}_i}{\eta_i} I_i + \\
 &+ \bar{d}_i K_i^T B_i^T (I_i - \nu_i \bar{B}_i^2)^{-1} B_i K_i + \frac{\bar{d}_i}{\nu_i} K_i^T K_i + \bar{d}_i K_i^T B_{di}^T (I_i - \mu_i \bar{B}_{di}^2)^{-1} B_{di} K_i + \frac{\bar{d}_i}{\mu_i} K_i^T K_i < 0
 \end{aligned} \tag{7}$$

여기서  $X_i = P_i^{-1}$ ,  $Y_i = K_i X_i$ ,  $\lambda_i = k_i \gamma_i$ 로 설정하고 schur의 보조정리를 리용하면 식 (7)은 식 (3)과 같아진다.

따라서 식 (3)의 풀이를 구하면 분산상태반결합증폭도행렬은  $K_i = -Y_i X_i^{-1} = -Y_i P_i$ 로 되며 대체계 (1)은 분산상태반결합에 의하여 로바스트점근안정하다.

## 2. 수값모의실험

2개의 부분체계로 구성된 조종력지연이 있는 불확정성대체계의 파라미터행렬은 다음과 같다고 하자.

$$A_1 = \begin{bmatrix} -1.97 & -0.13 \\ 0.91 & -0.8 \end{bmatrix}, \quad A_2 = \begin{bmatrix} -1.32 & 0.34 \\ 0.1 & -0.84 \end{bmatrix}, \quad B_1 = \begin{bmatrix} 1 \\ 0 \end{bmatrix}, \quad B_2 = \begin{bmatrix} 0 \\ 1 \end{bmatrix}, \quad B_{d1} = \begin{bmatrix} 1 \\ 1 \end{bmatrix}, \quad B_{d2} = \begin{bmatrix} -0.2 \\ -0.1 \end{bmatrix}$$

$$H_1 = H_2 = \begin{bmatrix} 1 & 0 \\ 0 & 1 \end{bmatrix}, \quad H_{12} = \begin{bmatrix} 0.3 & 0.6 \\ 0.1 & 0.1 \end{bmatrix}, \quad H_{21} = \begin{bmatrix} 0.5 & 0.1 \\ 0.2 & 0.1 \end{bmatrix}, \quad \Delta A_1 = \begin{bmatrix} r_1 & r_2 \\ r_1 - r_2 & r_1 + r_2 \end{bmatrix}$$

$$\Delta A_2 = \begin{bmatrix} 0.1r_3 & r_4 \\ 0.3r_3 + r_4 & 0.1r_4 \end{bmatrix}, \quad \Delta B_1 = \begin{bmatrix} 0 \\ s_1 \end{bmatrix}, \quad \Delta B_2 = \begin{bmatrix} 0 \\ 0.4s_3 \end{bmatrix}, \quad \Delta B_{d1} = \begin{bmatrix} -0.1s_2 \\ 0.1s_2 \end{bmatrix}$$

$$\Delta B_{d2} = \begin{bmatrix} -0.1s_4 - 0.1s_5 + 0.2s_6 \\ 0.1s_4 + 0.1s_5 + 0.1s_6 \end{bmatrix}, \quad \Delta H_1 = \begin{bmatrix} h_1 & \sqrt{3}h_2 \\ 0 & 0 \end{bmatrix}, \quad \Delta H_2 = \begin{bmatrix} 0 & 0 \\ h_3 & h_4 \end{bmatrix}$$

$$|r_i|, |s_j| \leq 1, \quad i=1, \dots, 4; \quad j=1, \dots, 6, \quad 0 < d_1 \leq 0.2, \quad 0 < d_2 \leq 0.2$$

$$|h_1|, |h_2| \leq 0.5, \quad |h_3| \leq 0.6, \quad |h_4| \leq 0.8, \quad k_1 = 5, \quad k_2 = 1.5$$

초기상태를  $x = [5 \ 5 \ 6 \ 6]$ 으로 놓고 선형행렬부등식 (3)을 풀면 부분체계 1과 2의 상태반결합증폭도는 다음과 같다.

$$K_1 = [-3.833 \ 4 \ -3.161 \ 7], \quad K_2 = [-1.136 \ 9 \ -1.064 \ 0]$$

여기에 기초하여 수값모의실험한 결과는 그림과 같다.

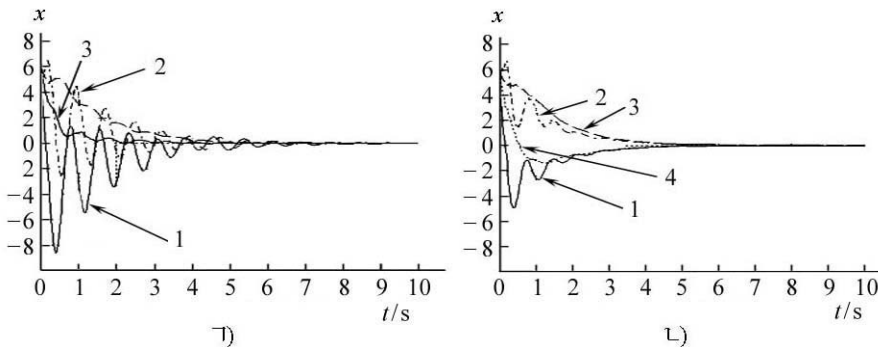


그림. 수값모의실험(상태응답)곡선

1) 선행한 방법, 2) 논문에서 제기한 방법

1-상태 1, 2-상태 2, 3-상태 3, 4-상태 4

모의곡선으로부터 논문에서 설계한 조종기가 체계의 안정성을 높이는데서 더 효과적이라는것을 알수 있다.

## 맺 는 말

LMI방법을 리용하여 조종력지연과 불확정성을 가진 대체계가 로바스트안정이기 위한 충분조건을 이끌어내고 그에 기초하여 분산로바스트조종기를 설계하였다.

## 참 고 문 헌

- [1] 김영일; 대체계조종, 김일성종합대학출판사, 130~141, 주체97(2008).
- [2] 桂卫华 等; 自动化学报, 28, 1, 1, 2002.
- [3] 谢永芳 等; 武汉理工大学学报, 28, 2, 104 2006.

주체103(2014)년 5월 5일 원고접수

## **Design of Decentralized Robust Controller of Uncertain Large-Scale System with Control-Delay**

*Ri Jin Song*

We derived a sufficient condition for the robust stability of large-scale systems with control-delay and uncertainty, and then designed the decentralized robust control.

And then we verified the effectiveness through the simulation experiment.

Key words: decentralized robust control, uncertainty